

LABORATOR DE MECANICĂ INFORMATIZAT
Lucrarea 5
MIȘCAREA PUNCTULUI MATERIAL GREU
ÎN MEDIU REZISTENT

Prof. dr. ing. Andrei Craifaleanu

1. ENUNȚ

Se studiază problema unui punct material P de masă m , lansat de la suprafața Pământului cu viteza inițială v_0 , înclinată cu unghiul α (fig. 1). Punctul material cade pe suprafața Pământului în punctul A . Se consideră că suprafața Pământului este plană, iar câmpul gravitațional uniform. Mișcarea este presupusă mai întâi în vid, deci fără rezistență la înaintare, iar apoi în aer, punctul material întâmpinând o rezistență la înaintare exprimată printr-o forță de frecare vâscoasă liniară, deci opusă vitezei \vec{v} și proporțională în modul cu aceasta, printr-un constantă c , numită *coeficient de rezistență la înaintare*:

$$|\vec{F}_r| = c|\vec{v}|. \quad (1)$$

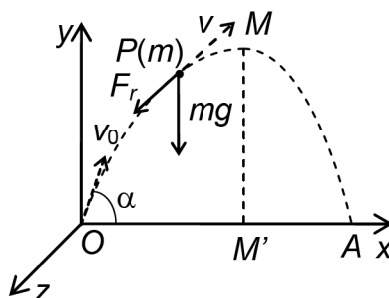


Fig. 1

Date:

m = masa punctului material;
 v_0 = viteza de lansare a punctului material;
 α = unghiul de lansare al punctului material;
 c = coeficientul de rezistență la înaintare;
 g = accelerația gravitațională;
 n = numărul maxim de iterații;
 ε = parametrul de eroare.

Se cere:

Să se scrie un program care să determine

- punctul M de înălțime maximă, în cazul mișcării fără rezistență la înaintare ($c=0$);
- bătaia OA , în cazul mișcării fără rezistență la înaintare ($c=0$);
- punctul M de înălțime maximă, în cazul mișcării cu rezistență la înaintare ($c \neq 0$);
- bătaia OA , în cazul mișcării cu rezistență la înaintare ($c \neq 0$).

2. REZOLVARE

a) Punctul M de înălțime maximă, în cazul mișcării fără rezistență la înaintare

În acest caz, ecuația fundamentală a dinamicii ia forma

$$m\bar{a} = m\bar{g}. \quad (2)$$

Se alege sistemul de referință cartezian din figura 1, având axa Oy verticală, iar axele Ox și Oz în planul orizontal, cu Ox situată în planul vertical ce conține vectorul \vec{v}_0 .

Simplificând m și proiectând această ecuație pe axele sistemului de referință, rezultă *ecuațiile diferențiale ale mișcării punctului material fără rezistență la înaintare*:

$$\ddot{x} = 0, \quad \ddot{y} = -g, \quad \ddot{z} = 0. \quad (3)$$

Aceste ecuații diferențiale se integrează cu condițiile inițiale

$$t = 0 \Rightarrow \begin{cases} x = 0, & y = 0, & z = 0 \\ \dot{x} = v_0 \cos \alpha, & \dot{y} = v_0 \sin \alpha, & \dot{z} = 0, \end{cases} \quad (4)$$

rezultând *ecuațiile de mișcare ale punctului material fără rezistență la înaintare*:

$$x = v_0 t \cos \alpha, \quad y = -\frac{1}{2}gt^2 + v_0 t \sin \alpha, \quad z = 0. \quad (5)$$

Determinând timpul din prima ecuație de mișcare (5) și înlocuindu-l în cea de a doua, se obține *ecuația traiectoriei, în cazul mișcării fără rezistență la înaintare* (în planul Oxy ce o conține):

$$y = -\frac{g}{2v_0^2 \cos^2 \alpha} x^2 + x \tan \alpha. \quad (6)$$

Traectoria este un arc de parabolă.

Punctul M de înălțime maximă, în cazul mișcării fără rezistență la înaintare (fig. 1), coincide cu vârful parabolei, deci cu punctul în care se anulează panta tangentei la parabolă. Acest punct se determină din condiția

$$x = x_M \Rightarrow \frac{dy}{dx} = 0. \quad (7)$$

Înlocuind aceste valori în derivata ecuației traiectoriei (6), se obține

$$x_M = \frac{v_0^2 \cos^2 \alpha \tan \alpha}{g} = \frac{v_0^2 \sin 2\alpha}{2g}. \quad (8)$$

Înălțimea maximă rezultă înlocuind valoarea (8) în ecuația traiectoriei (6):

$$y_M = y(x_M) = -\frac{1}{2} \frac{g}{v_0^2 \cos^2 \alpha} \left(\frac{v_0^2 \sin 2\alpha}{2g} \right)^2 + \frac{v_0^2 \sin 2\alpha}{2g} \tan \alpha = \frac{v_0^2 \sin^2 \alpha}{2g}. \quad (9)$$

b) Bătaia OA , în cazul mișcării fără rezistență la înaintare

În acest caz, bătaia OA (fig. 1) se determină introducând în ecuația traiectoriei (6) condiția

$$x = OA \Rightarrow y = 0. \quad (10)$$

Rezultă

$$OA_1 = 0, \quad OA_2 = \frac{2v_0^2 \sin \alpha \cos \alpha}{g} = \frac{v_0^2 \sin 2\alpha}{g} = 2x_M. \quad (11)$$

Din punct de vedere fizic, convine ultima soluție.

c) Punctul M de înălțime maximă, în cazul mișcării cu rezistență la înaintare
În acest caz, ecuația fundamentală a dinamicii ia forma

$$m\bar{a} = m\bar{g} + \bar{F}_r. \quad (12)$$

Forța rezistentă \bar{F}_r poate fi exprimată sub formă vectorială și sub formă analitică:

$$\bar{F}_r = |\bar{F}_r| \cdot \frac{-\bar{v}}{|\bar{v}|} = -c|\bar{v}| \frac{\bar{v}}{|\bar{v}|} = -c\bar{v} = -c(\dot{x}\bar{i} + \dot{y}\bar{j} + \dot{z}\bar{k}). \quad (13)$$

Se alege același sistem de referință ca și în cazul mișcării fără rezistență la înaintare.

Proiectând ecuația (12) pe axele acestui sistem, rezultă *ecuațiile diferențiale ale mișcării punctului material cu rezistență la înaintare*,

$$\ddot{x} + \beta\dot{x} = 0, \quad \ddot{y} + \beta\dot{y} = -g, \quad \ddot{z} + \beta\dot{z} = 0, \quad (14)$$

unde s-a notat

$$\beta = \frac{c}{m}. \quad (15)$$

Ecuațiile diferențiale (14) sunt decuplate (fiecare conține numai câte una dintre necunoscute), de ordinul II, liniare, cu coeficienți constanți, prima și a treia omogene, iar a doua neomogenă.

Aceste ecuații diferențiale se integrează cu condițiile inițiale (4), rezultând *ecuațiile de mișcare ale punctului material cu rezistență la înaintare*:

$$x = \frac{v_0 \cos \alpha}{\beta} (1 - e^{-\beta t}), \quad y = \left(\frac{v_0 \sin \alpha}{\beta} + \frac{g}{\beta^2} \right) (1 - e^{-\beta t}) - \frac{g}{\beta} t, \quad z = 0. \quad (16)$$

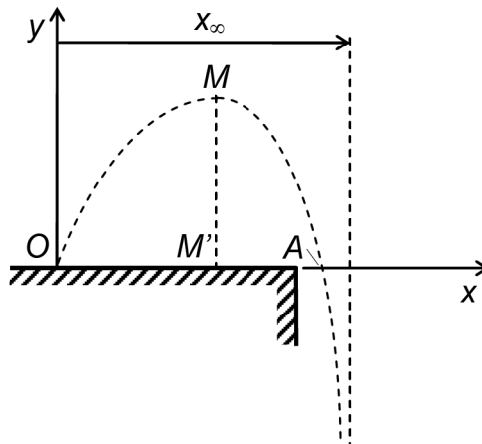


Fig. 2

Observație. Deoarece

$$x_{\infty} = \lim_{t \rightarrow \infty} x(t) = \frac{v_0 \cos \alpha}{\beta} = \frac{mv_0 \cos \alpha}{c}, \quad y_{\infty} = \lim_{t \rightarrow \infty} y(t) = -\infty, \quad (17)$$

rezultă că, spre deosebire de cazul mișcării în vid, dacă mișcarea în aer are loc la marginea unei prăpăstii infinit de adânci (fig. 2), punctul material se va apropia oricât de mult de o dreaptă verticală situată la distanța x_{∞} de punctul de lansare. Această dreaptă este o asimptotă a traiectoriei.

Determinând timpul din prima ecuație de mișcare (16) și înlocuindu-l în cea de a doua, se obține *ecuația traiectoriei, în cazul mișcării cu rezistență la înaintare* (în planul Oxy ce o conține):

$$y = \left(\operatorname{tg} \alpha + \frac{g}{\beta v_0 \cos \alpha} \right) x + \frac{g}{\beta^2} \ln \left(1 - \frac{\beta x}{v_0 \cos \alpha} \right). \quad (18)$$

Punctul M de înălțime maximă, în cazul mișcării cu rezistență la înaintare (fig. 2), coincide cu punctul de maxim al traiectoriei, deci cu punctul în care se anulează panta tangentei la această curbă. Acest punct se determină din condiția (7).

Înlocuind valorile impuse de această condiție în derivata ecuației traiectoriei (18), se obține

$$x_M = x(t_M) = \frac{v_0^2 \sin \alpha \cos \alpha}{g + \beta v_0 \sin \alpha}. \quad (19)$$

Înălțimea maximă rezultă înlocuind valoarea (19) în ecuația traiectoriei (18):

$$y_M = y(x_M) = \frac{v_0 \sin \alpha}{\beta} - \frac{g}{\beta^2} \ln \left(1 + \frac{\beta v_0 \sin \alpha}{g} \right). \quad (20)$$

d) Bătaia OA, în cazul mișcării cu rezistență la înaintare

În acest caz, bătaia OA (fig. 2) se determină introducând în ecuația traiectoriei (18) condiția (10).

Din punct de vedere matematic, aceasta revine la a rezolva ecuația transcendentă

$$f(OA) = 0, \quad (21)$$

în care funcția $f(x)$ este reprezentată de membrul drept la ecuației traiectoriei (18), prin urmare,

$$f(x) = \left(\operatorname{tg} \alpha + \frac{g}{\beta v_0 \cos \alpha} \right) x + \frac{g}{\beta^2} \ln \left(1 - \frac{\beta x}{v_0 \cos \alpha} \right). \quad (22)$$

Rădăcina ecuației transcendente (21) se determină pe baza observației că funcția continuă $f(x)$, definită de formula (22), ia valori de semne opuse în capetele intervalului $[x_M, x_{\infty}]$. Într-adevăr, din relația (20), respectiv din cea de a doua relație (17):

$$f(x_M) = y_M > 0, \quad f(x_{\infty}) = y_{\infty} = -\infty < 0. \quad (23)$$

Drept urmare, conform proprietății lui Darboux a funcțiilor continue, cunoscute din analiza matematică, în intervalul menționat, funcția are cel puțin o rădăcină. În cazul aplicației de față, există o singură rădăcină, care este chiar bătaia OA a punctului material.

Această rădăcină poate fi determinată numeric, prin *metoda înjumătățirii intervalului*

(fig. 3).

Metoda constă în a căuta rădăcina unei funcții f în intervalului $[x_L, x_R]$, pe care aceasta își schimbă semnul, la mijloc, adică în punctul

$$x_i = \frac{x_L + x_R}{2}. \quad (24)$$

În acest scop, se calculează valoarea $f(x_i)$, care se poate afla într-unul din următoarele trei cazuri:

- este nulă sau foarte mică în modul (fig. 3 a), ceea ce înseamnă că valoarea (24) este rădăcina, respectiv o bună aproximație a acesteia;
- are semnul capătului stâng (fig. 3 b), deci căutarea trebuie reluată pe subintervalul drept (x_i, x_R) ;
- are semnul capătului drept (fig. 3 c), deci căutarea trebuie reluată pe subintervalul stâng (x_L, x_i) .

Căutarea se încheie fie când se îndeplinește condiția din primul caz (situație în care metoda a reușit), fie după parcurgerea unui număr maxim admis de iterații (situație în care metoda a eșuat).

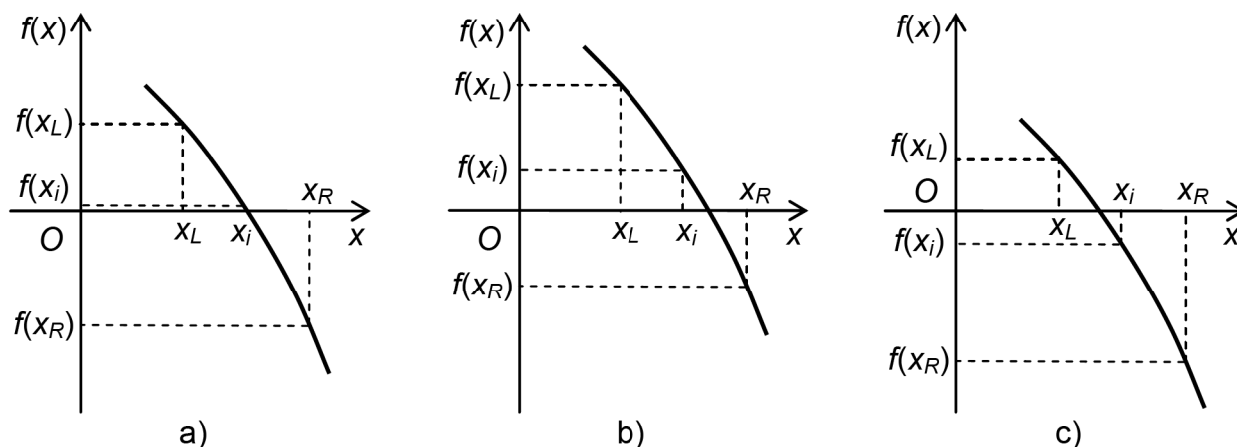


Fig. 3

3. INDICAȚII PENTRU PROGRAMARE

a) Punctul M de înălțime maximă, în cazul mișcării fără rezistență la înaintare, se determină cu formulele (8) și (9).

b) Bătaia OA , în cazul mișcării fără rezistență la înaintare, se determină cu ultima formulă (11).

c) Punctul M de înălțime maximă, în cazul mișcării cu rezistență la înaintare, se determină cu formulele (19) și (20).

d) Bătaia OA , în cazul mișcării cu rezistență la înaintare, se determină după cum urmează.

Se inițializează

$$x_L = x_M, \quad x_R = x_\infty, \quad (25)$$

unde x_M este definit de relația (19), iar x_∞ de prima relație (17);

Într-un ciclu după $i=1, \dots, n$, la pasul i :

- se calculează

$$x_i = \frac{x_L + x_R}{2}; \quad (26)$$

- dacă $|f(x_i)| \leq \varepsilon$ (fig. 3 a), unde parametrul de eroare ε este mic în raport cu y_M (de exemplu $\varepsilon = y_M/1000$), atunci calculul se încheie și rădăcina căutată este

$$OA \cong x_i; \quad (27)$$

- dacă $f(x_i) > \varepsilon$ (fig. 3 b), se efectuează înlocuirea

$$x_L \leftarrow x_i \quad (28)$$

și calculul se reia la pasul următor ($i+1$);

- dacă $f(x_i) < -\varepsilon$ (fig. 3 c), se efectuează înlocuirea

$$x_R \leftarrow x_i \quad (29)$$

și calculul se reia la pasul următor ($i+1$).

Observație. Atunci când coeficientul c tinde către zero, mărimile specifice mișcării cu rezistență la înaintare tind către cele corespunzătoare, specifice mișcării fără rezistență la înaintare. Drept consecință, verificarea calculelor se poate face alegând o valoare mică pentru coeficientul de rezistență la înaintare c și comparând mărimile corespunzătoare ale celor două tipuri de mișcări. Dacă valorile mărimilor respective sunt apropiate, calculele sunt verificate.

4. EXEMPLE NUMERICE

a) Date (fig. 1):

$m = 1;$
 $v_0 = 1;$
 $\alpha = 1;$
 $c = 0,1;$
 $g = 9,81;$
 $n = 30;$
 $\varepsilon = 0,00001.$

Rezultate:

Cazul	x_M	y_M	OA
fără rezistență	0,04635	0,03609	0,09269
cu rezistență	0,04595	0,03588	0,09165

Soluția aproximativă a fost găsită după 16 iterații.

b) Date (fig. 1):

$= 1;$
 $v_0 = 1;$
 $\alpha = 1;$
 $c = 0,01;$
 $g = 9,81;$
 $n = 30;$
 $\varepsilon = 0,00001.$

Rezultate:

Cazul	x_M	y_M	OA
fără rezistență	0,04635	0,03609	0,09269
cu rezistență	0,04631	0,03607	0,09259

Soluția aproximativă a fost găsită după 20 iterații.